EIN EXPERIMENTELLES MODELL ZUR
ABSCHAETZUNG DES DURCHSCHLAGSVERHALTENS VON GASEN IM INHOMOGENEN
ODER LOKAL GESTOERTEN FELD

Betreuer:
G. Biasiutti

Verfasser: P. Mauchle

INHALTSVERZEICHNIS

		Seite
	Aufgabenstellung	2
I.	EINLEITUNG	
II.	THEORETISCHE BETRACHTUNG DES STREAMERS UND DES NACHFOLGENDEN DURCHSCHLAGES	5
	1. Allgemein	5
	2. Der positive Streamer	5
	3. Der durch den positiven Streamer eingeleitete Durchschlag	8
	4. Der negative Streamer	9
III.	VERSUCHSAUFBAU, MESSANORDNUNG UND MESSKRITERIUM	10
	1. Versuchsaufbau	10
	2. Messanordnung	12
	3. Erzeugung der Feldinhomogenität	14
	4. Synchronisation Zündimpuls-Messung	14
	5. Messung der kritischen Feldstärke E _{krit}	15
IV.	MESSUNGEN	20
	1. Messung mit Bordaprofil	20
	2. Messung mit Rogowskiprofil	24
v.	ZUSAMMENFASSUNG	28
	Literaturverzeichnis	30



EIDGENÖSSISCHE TECHNISCHE HOCHSCHULE ZÜRICH

Institut für Elektrische Energieübertragung und Hochspannungstechnik

Fachgruppe Hochspannungstechnik Prof. Dr. Walter Zaengl

STUDIENARBEIT SS 1982

Mauchle, Peter Bearbeiter:

Ein experimentelles Modell zur Abschätzung des Durch-Thema:

schlagsverhaltens von Gasen im inhomogenen oder lokal

gestörten Feld.

Abgabe: 16. Juli 1982 20. April 1982 Ausgabe:

Das Fachgebiet, welches der vorliegenden Arbeit übergeordnet ist, trägt oft die Bezeichnung "Neue gasförmige Dielektrika". "Neu" bezieht sich dabei nicht auf die betreffenden Gase oder Gasgemische, sondern auf deren Anwendung als Isoliermedien in gekapselten Hochspannungsanlagen. Der Gedanke bei der Untersuchung solcher Gase ist die Substitution des heute vielverwendeten SF6 durch ein noch vorteilhafteres Isoliermedium (gleiche Konstruktion der Anlagen, jedoch höhere zulässige Betriebsfeldstärken).

Für die Beurteilung der Anwendbarkeit verschiedener Komponenten bedarf es jedoch nicht nur der Kenntnis ihrer Durchschlagsfestigkeit im homogenen Feld (inhärente elektrische Festigkeit), sondern auch des Durchschlagverhaltens im inhomogenen oder lokal gestörten Feld. Doch gerade diese Untersuchungen sind wegen der grossen Anzahl der Parameter äusserst zeitaufwendig, und die Resultate verschiedener Arbeiten sind nur bedingt vergleichbar (Vielfalt der Elektrodenanordnungen).

Aufgrund dieser Schwierigkeit soll nun versucht werden, statt der eigentlichen Untersuchung dieses Verhaltens eine bestimmte Gaseigenschaft zu messen, welche möglicherweise gewisse Voraussagen darüber zulässt.

Idee: Falls in einer beliebigen Feldanordnung eine Entladung einsetzt (durch z.B. starke Inhomogenität oder freies Partikel usw.) so führt diese nur dann zu einem Durchschlag, wenn die angelegte mittlere Feldstärke U/d einen bestimmten gasspezifischen, druckabhängigen Wert übersteigt (minimale Durchschlagfeldstärke).

Experiment: In einem Homogenfeld wird auf der erdseitigen Platte mittels Zündstift periodisch eine Entladung ausgelöst; die zwischen den Platten angelegte Feldstärke wird nun so lange erhöht, bis die gezündete Entladung zur Gegenelektrode vorwächst, bzw. bis sich ein Durchschlag ausbildet.

Aufgabenstellung:

1. Aufbau der Versuchsapparatur:

Unter Verwendung eines bestehenden Prüfgefässes (Druck bis 2 bar, Spannungen bis ca. 300 kV) soll eine geeignete Apparatur für diese Untersuchung aufgebaut werden.

2. Erprobung der Apparatur:

Die ersten Messungen sind in atmosphärischer Luft durchzuführen (offener Gefäss-Seitenstutzen); dabei ist insbesondere der Einfluss des Zündstifts (Feldinhomogenität) sowie der Energie und Polarität des Zündfunkens auf die gemessenen minimalen Durchschlagfeldstärken zu untersuchen.

3. Vergleich mit Literaturdaten:

Die einzigen bekannten Messungen dieser Art beziehen sich auf Luft (vgl. Literaturangaben). Man überprüfe diese Werte mit der eigenen Apparatur.

Ferner ist die Frage zu klären, ob für die beabsichtigten Untersuchungen die Feldstärke für das Vorwachsen der Entladung, oder für das Ausbilden eines Durchschlags entscheidend ist.

4. Untersuchung von SF6:

SF₆ soll bei beiden Polaritäten in Funktion des Drucks untersucht werden.

In einer kleinen Literaturrecherche wähle man einige zuverlässige Untersuchungen von ${\rm SF}_6$ im inhomogenen oder lokal gestörten Feld aus und kläre ab, ob ein Zusammenhang im Sinne des beschriebenen Modells gefunden werden kann.

Literatur:

Andersson N.E., An investigation of the positive point streamer corona, Part II. Arkiv för Fysik, 1958, 13, 35, 441-479.

Griffiths R.F. und C.T. Phelps, The effects of air pressure and water vapour content on the propagation of positive corona streamers, and their implications of lightning initiation. Quartal Journal Royal Meteorological Society, London, 1976, 102, 419-426.

Betreuer: G. Biasiutti

(W. Zaengi)

I. EINLEITUNG

Der steigende Verbrauch an elektrischer Energie verlangt immer grössere Energieübertragungsanlagen. Um bei der Vergrösserung dieser Anlagen die Verluste möglichst klein zu halten, wird dabei angestrebt, den Strom nicht erhöhen zu müssen, sondern nur die Spannung. Höhere Spannungen bedingen aber wiederum grössere geometrische Anordnungen, vorallem bei den Schaltanlagen. Da zu monströse Schaltanlagen aber auch wieder verpönt sind und der zur Verfügung stehende Raum meistens beschränkt ist, müssen diese Anlagen gekapselt werden. In den gekapselten Anlagen gelangen die isolierenden Gase zur Anwendung. Erst durch sie können die geometrischen Abmessungen wieder stark verkleinert werden. Da die gekapselten Anlagen stark optimiert sind, ist es wichtig, um Katastrophen in den Schaltanlagen zu vermeiden, zu wissen, wie die isolierenden Gase auf Störungen der elektrischen Felder reagieren.

In dieser Arbeit geht es darum das Durchschlagsverhalten und die Durchschlagskriterien von Gasen in einem gestörten Homogenfeld zu untersuchen.

Da bei herkömmlichen Messungen des Durchschlagsverhaltens in inhomogenen Feldern das Resultat sehr stark von der Geometrie der Spitze
oder der Kante abhängig ist, liegt dieser Arbeit die Idee zu Grunde,
diese geometrischen Abhängigkeiten zu eliminieren. Dazu wird eine
Inhomoginität oder Störung simuliert, indem ein homogenes Feld durch
einen periodischen Spannungsimpuls auf der erdseitigen Elektrode
lokal gestört wird.

Ein Teil der Arbeit besteht darin, eine Anordnung dieser Feldstörung zu finden, die einen möglichst geringen Einfluss auf äussere-Parameter, wie Elektrodenabstand, Spannungsimpuls und Anordnung der Nadel hat. die Houngemilal des ausseren Feldes hat.

Weiter ist anzusteben, dass bei Messungen die gleichen Resultate erzielt werden, wie sie schon in früheren Arbeiten erhalten wurden, denn nur so kann eine sellvertretende Messmethode für das Durchschlagsverhalten isolierender Gase in inhomogenen Feldern gefunden werden.

selve solder !!

II. THEORETISCHE BETRACHTUNGEN DES STREAMERMECHANISMUS UND DES NACHFOLGENDEN DURCHSCHLAGES

1

1. Allgemein

Bevor ein Durchschlag in einem elektrischen Feld erfolgen kann, muss zuerst ein Entladekanal aufgebaut werden. Dieser Kanal wird durch Ladungswolken aufbereitet. Es bestehen verschiedene Theorien darüber, wie dieser Entladungskanal entstehen soll. Dieser Arbeit liegt die Theorie des Streamermechanismus zu Grunde.

Bei der Theorie des Streamermechanismus wird der Elektrodenabstand nicht von jeder Ladungswolke durchwandert, sondern es werden neue Wolken durch Photonen angeregt. Diese Photonen stammen aus Rekombinationsvorgängen in der Spitze älterer Wolken.

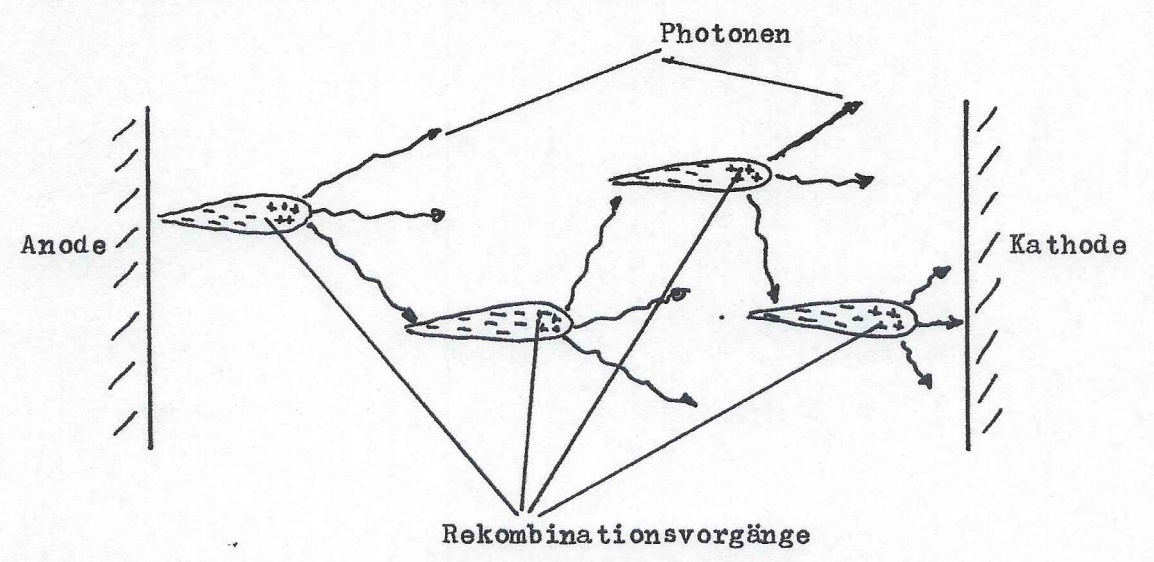


Fig.1: Prinzipielle Ausbreitung des Streamers

2. Der positive Streamer

Unter positivem Streamer versteht man denjenigen Streamer, der sich von der Anode zur Kathode fortbewegt, das heisst, dass die Spitze einer einzelnen Ladungswolke positiv und deren Schwanz negativ geladen ist.

Ueber den positiven Streamer bestehen zwei gegensätzliche Theorien. 2.1. Model nach Wright

Wright (1964) nimmt an, dass der Streamerkanal stark leitend ist, so dass die Streamerspitze annähernd das Anodenpotential aufweist. Das elektrische Feld vorne an der Streamerspitze wird somit stark vergrössert, was durch die veränderten geometrischen Anordnungen bedingt ist.

2.2. Dawson- und Winnmodel

Dawson und Winn (1965) sehen den Streamer jedoch als eine isolierte Raumladung, die hinter sich eine mässig leitende, kurze Bahn hervorruft. Das Vorwachsen des Streamers/geschieht durch die durch Photoionisation entstandenen Ladungswolken und durch die raumladungsbedingte Vergrösserung der lokalen Feldstärke. Der Kanal spielt dabei eine kleine oder sogar überhaupt keine Rolle.

Die experimentellen Arbeiten von Dawson (1965), Acker und Penney (1969) und Phelps (1971) bestätigen die letztere Interpretation. Daher übernehme ich auch die Theorie von Dawson und Winn

Wenn die Streamerspitze isoliert ist, so führt eine Betrachtung der elektrischen Energie auf die Gleichung

$$\frac{du}{dx} = q.E_a - q.E_o \qquad (1)$$

Literaturougabe!

Dabei ist u das innere Energiepotential der Raumladung, das in der Spitze enthalten ist.

q ist die in der Spitze mitgeführte Ladung.

E ist das die Streamerspitze umgebende elektrische Feld.

E₀ ist eine Quantität, welche die Dimension einer elektrischen Feldstärke hat, so dass q.E₀ die pro Wegeinheit verlohrene Energie bedingt durch Ionisation, Rekombination und verlohrene Ladungen darstellt.

q.E_a representiert die pro Wegeinheit gewonnene Energie, welche durch die Wechselwirkung zwischen der Streamerspitze und des umgebenden Feldes hervorgerufen wird.

Die Gleichung (1) gilt für einen einzelnen isolierten Streamer. Ein solcher kommt aber kaum einzel vor, sondern es treten immer mehrere Streamer gleichzeitig auf. Dieses ganze System kann nun aber von der Anode und Kathode isoliert betrachtet werden.

Es gilt die Annahme, dass für ein konstantes homogenes elektrische Feld zwischen Anode und Kathode mit einer Feldstärke, die grösser als E_0 ist, ein Gleichgewicht herrscht. Da für eine Feldstärke $E>E_0$ die Verluste $q.E_a$ der Streamerspitze gedeckt sind, kann der Streamer anwachsen und sich sogar verzweigen. Dabei wird für die weitere Berechnung angenommen, dass u, q und E_0 annähernd konstant und unabhängig von der angelegten Feldstärke E bleiben.

Da u und q als konstant betrachtet werden, ergibt sich für das ganze System, das N Streamers enthält.

$$U = N.u$$
; $Q = N.q$

dabei ist U die gesamte innere Energie und Q die gesamte Ladung des Systems.

Aus der Gleichung (1) folgt somit

$$\frac{dU}{dx} = Q(E_a - E_o) \qquad (2)$$

Mit der Substitution $U = \frac{u}{q}$. Q in (2)

folgt
$$\frac{dQ}{dx} = \frac{q}{u} \cdot Q(E_a - E_0)$$

die Lösung dieser Differentialgleichung ergibt

$$Q = Q_0 \exp(\frac{q}{u}(E_a - E_0)x)$$
 (3)

Mit einer weiteren Annahme, dass die Geschwindigkeit mit der sich der Streamer ausbreitet bei konstant angelegtem Homogenfeld konstant bleibt, kann die Gleichung (3) neu geschrieben werden. v ist die Ausbreitungsgeschwindigkeit des Streamers.

$$x = v.t$$

$$==== Q_0 \exp(\frac{qv}{u}(E_a - E_0)t) \qquad (4)$$

2.3. Bilanz der Theorie nach Dawson und Winn

Diese Energiebetrachtung führt zum Schluss, dass die Ladung des Streamers, wenn $E_a > E_0$ ist, exponentiel ansteigt. Dies zeigt sich auch tatsächlich im Experiment, durch die Verästelung des Streamers mit zunehmendem Weg und durch die exponentielle Zunahme der Ladung bei der Vergrösserung des Elektrodenabstandes d.

Die Bedingung, dass Q anwächst ist, dass

$$E_a - E_o > 0$$

Wenn die elektrische Feldstärke E des Homogenfeldes in die Energiebetrachtung mit einbezogen wird, dann wird

$$E_a^1 = E_a + E$$

und es gilt für das Anwachsen des Streamers die Bedingung

$$E_{\mathbf{a}}^{1} - E_{\mathbf{o}} > 0$$

$$=== \sum_{\mathbf{a}} E_{\mathbf{a}} + E - E_{\mathbf{o}} > 0$$

$$\Leftrightarrow E > E_{\mathbf{o}} - E_{\mathbf{a}}$$

daraus ergibt sich $E_{krit} = E_o - E_a$ $=== Q_o$

Das heisst die Ladung des Streamers wird nicht vergrössert sondern bleibt $\mathbf{Q}_{\mathbf{o}}$, also ist $\mathbf{E}_{\mathbf{krit}}$ die minimale Feldstärke, die benötigt wird, damit ein Streamer vorwachsen kann.

Die kritische Feldstärke E_{krit} wurde von Phelps, Acker und Penney experimentell bestimmt. Sie erhielten in atmosphärischer Luft einen Wert, der bei 4kV/cm liegt.

3. Der durch den positiven Streamer eingeleitete Durchschlag

Hinter den durch Photonen erzeugten positiven Ladungswolken des Streamers entstehen kurze, schwach leitende, negativ geladene Kanäle. Das heisst, wenn die Streamerspitze die Kathode erreicht hat, ist noch kein leitender Kanal zwischen den Elektroden hergestellt, sondern erst vereinzelte kurze Stücke. Bei einer Erhöhung der homogenen Feldstärke zwischen den Elektroden werden mehr Ladungswolken und somit auch mehr kurze Kanäle erzeugt. Wenn die homogene Feldstärke den Durchschlagswert ED erreicht hat, haben sich so viele leitende Kanalstücke ausgebildet, dass sie einander berühren und somit der leitende Kanal zwischen Anode und Kathode hergestellt ist und der Durchschlag erfolgen kann.

4. Der negative Streamer

Beim Vorwachsen des negativen Streamers fällt die Erregung neuer Ladungswolken durch Photonen weg. In diesem Fall bildet sich eine Elektronenlawine, die von der Kathode zur Anode wächst. Somit wird ein Kanal ausgebildet, dessen Verbindung zur Kathode nicht abbricht. Sobald dieser Kanal die Anode erreicht hat, ist der Entladungskanal hergestellt, und es erfolgt der Durchschlag. Daher fällt die Feldstärke \mathbf{E}_{krit} , die zum Vorwachsen des Streamers benötigt wird annähernd mit der Durchschlagsfeldstärke $\mathbf{E}_{\mathbf{D}}$ zusammen.

Für das Anwachsen des Streamers ist die lokale Feldstärke E_{lok} verantwortlich. Diese setzt sich zusammen aus der homogenen Feld-stärke E und der inhomogenen Feldstärke, welche durch die negative Ladung der Streamerspitze, der Anodenspannung und dem sich verkürzenden Abstand d'zwischen Streamerspitze und Anode bedingt ist.

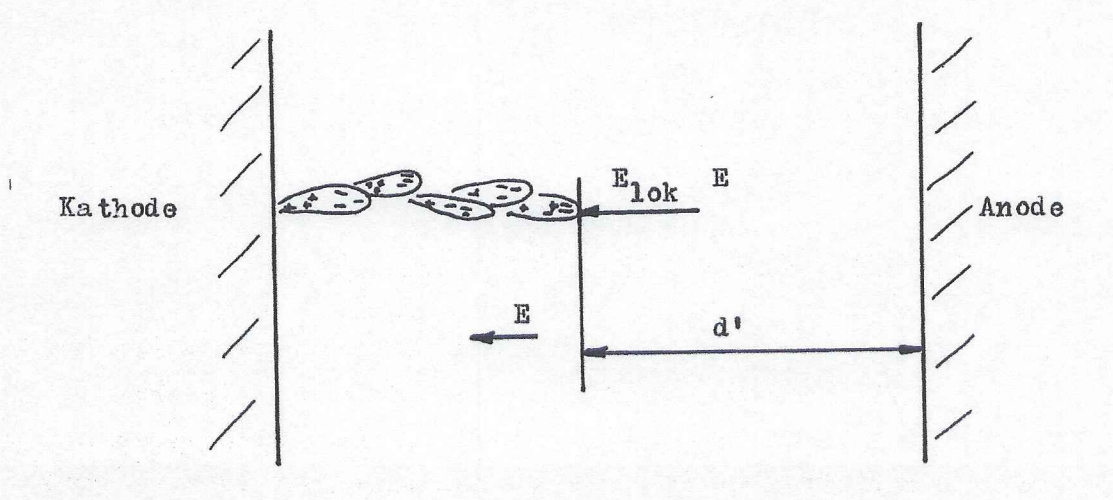


Fig. 2: Model des negativen Streamers

III. VERSUCHSAUFBAU, MESSANORDNUNG UND MESSKRITERIUM

1. Versuchsaufbau

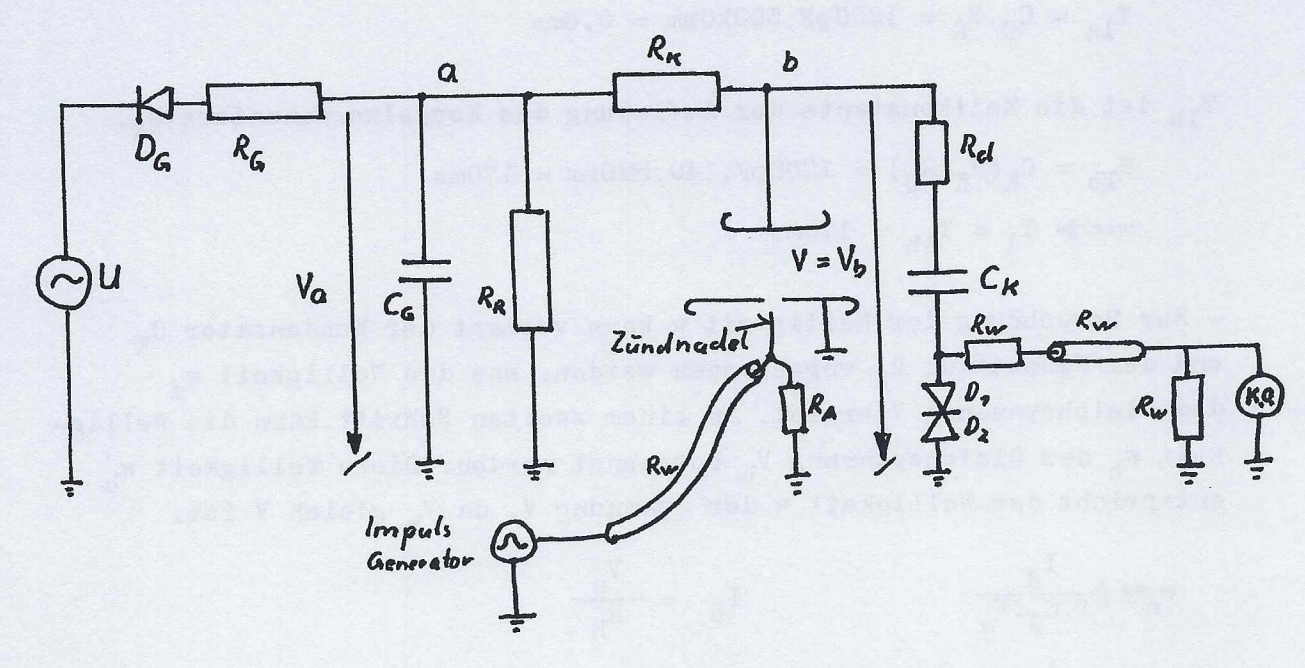


Fig. 3: Schaltplan der gesamten Versuchsanordnug

Bestückungsliste

R _R	500k0hm 280M0hm 140M0hm 2k0hm	C _G 1200pF C _K 1200pF D _G Hochspannungsdiode (Bambergelement) D ₁ ,D ₂ Schutzdioden
$R_{\overline{\mathbf{w}}}$	50 Ohm	
R_{Δ}	100 Ohm (500 Ohm)	

Als Spannungsquelle diente ein Hochspannugstransformator. Dessen Wechselspannung wurde durch den Einweggleichrichter (C_G, D_G, R_G) in eine Hochgleichspannung V umgewandelt. (Für den Fall, dass man eine positive Hochgleichspannung benötigte, wurde die Diode D_G umgekehrt.)

Die gleichgerichtete Hochspannung V liegt nach der Aufladezeit T₁ an der oberen Elektrode (Punkt b) und variert nur noch mit der Welligkeit w. Der Widerstand R_R wurde angebracht, damit die Gleichspannung V verändert werden kann, denn wenn R_R unendlich gross wäre, so könnte V nur gesteigertaber nicht mehr verringert werden, was eine Regulierung und somit eine genaue Bestimmung der kritischen Spannung V_{krit} verunmöglicht hätte.

- 1.1. Berechnung_von_T1_und_w_
- T_1 ist die grössere der beiden Zeitkonstanten T_{la} und T_{lb} . T_{la} ist die Zeitkonstante der Aufladung des Kondensators C_G .

$$T_{1a} = C_{G}.R_{G} = 1200 pF.500 k0 hm = 0.6 ms$$

T_{1b} ist die Zeitkonstante der Aufladung des Koppelkondensators C_K.

$$T_{1b} = C_K(R_K + R_G) = 1200 \text{ pF.} 140,5\text{MOhm} = 170 \text{ms}$$

====> $T_1 = T_{1b} = 170 \text{ms}$

- Zur Berechnung der Welligkeit w kann vorerst der Kondensator \mathbf{C}_{K} und der Widerstand \mathbf{R}_{K} weggelassen werden, was die Welligkeit wader Gleichspannung \mathbf{V}_{a} ergibt. In einem zweiten Schritt kann die Welligkeit water werden bei der Gleichspannung \mathbf{V}_{b} berechnet werden. Diese Welligkeit water entspricht der Welligkeit water Spannung \mathbf{V}_{b} , da \mathbf{V}_{b} gleich \mathbf{V} ist.

$$\begin{aligned} \mathbf{w}_{\mathbf{a}} &\approx \frac{1}{2} \frac{\mathbf{I}_{R}}{\mathbf{f} \cdot \mathbf{C}_{G} \cdot \mathbf{V}_{\mathbf{a}}} & \mathbf{I}_{R} &= \frac{\mathbf{V}_{\mathbf{a}}}{R_{R}} \\ &= \mathbf{w}_{\mathbf{a}} \approx \frac{1}{2 \mathbf{f} \cdot \mathbf{C}_{G} \cdot R_{R}} = 0.03 \\ & \mathbf{R}_{\mathbf{d}} &\ll \mathbf{R}_{K} & \mathbf{R}_{\mathbf{d}} &\ll \frac{1}{\omega C_{K}} \\ & \mathbf{V}_{\mathbf{b}} &= \mathbf{a} \mathbf{V}_{\mathbf{a}} \cdot \frac{1}{1 + \omega C_{K} \cdot R_{K}} &= \mathbf{w}_{\mathbf{a}} \cdot \mathbf{V}_{\mathbf{a}} \cdot \frac{1}{1 + \omega C_{K} \cdot R_{K}} \end{aligned}$$

Die Frequenz der Welligkeit w_a ist 50Hz. Im aufgeladenen Zustand von C_K und C_G ist $V_a = V_b$.

===
$$\frac{\mathbf{w}_{\mathbf{b}}}{\mathbf{v}_{\mathbf{b}}} \approx \frac{\mathbf{v}_{\mathbf{b}}}{\mathbf{v}_{\mathbf{b}}} = \mathbf{w}_{\mathbf{a}} \cdot \frac{\mathbf{v}_{\mathbf{b}}}{\mathbf{v}_{\mathbf{b}}} \cdot \frac{1}{1 + \omega C_{\mathbf{K}} R_{\mathbf{K}}} = 5,6.10^{-4}$$

Da die Welligkeit der Gleichspannung V an der oberen Elektrode gering und das Spannungsteilerverhältnis $\frac{R_R}{R_R+R_G} \approx 1$ ist, wurde zur Spannungsmessung die Amplitude der Wech- $\frac{R_R+R_G}{R_R+R_G}$ selspannung U mit der Messmethode nach Chub-Fortescue bestimmt.

2. Messanordnung

2.1. Messung mit Hilfe des Koppelkondensators CK

Zur Bestimmung der Spannung, die es benötigt, damit ein Streamer den Elektrodenabstand düberbrückt, oder dass sonst eine Entladung stattfindet, dient der Koppelkondensator \mathbf{C}_K . Bei einem schnellen Stromstoss oder einer schnellen Spannungsveränderung sieht dieses einsetzende Signal den grossen Widerstand \mathbf{R}_K als Unterbruch und geht daher über den Koppelkondensator zur Messanordnung.

2.2. Messung am KO

Gemessen wird der Stromstoss mit Hilfe eines KO's, indem der Spannungsimpuls, der vom Stromimpuls erzeugt wird, über einem 50 Ohm-Widerstand gemessen wird.

Die Dioden D₁ und D₂ dienen zur Spannungsbegrenzung, das heisst am KO erscheint eine maximale Spannung von 2U_{sperr} (Wanderwelle). Ein Durchschlag zwischen den Elektroden ist aber trotzdem zu vermeiden, weil ein Diode nicht plötzlich auf eine rasch ansteigende Ueberspannung reagieren kann, sondern erst nach einer bestimmten Zeit die Spannung beschränkt.

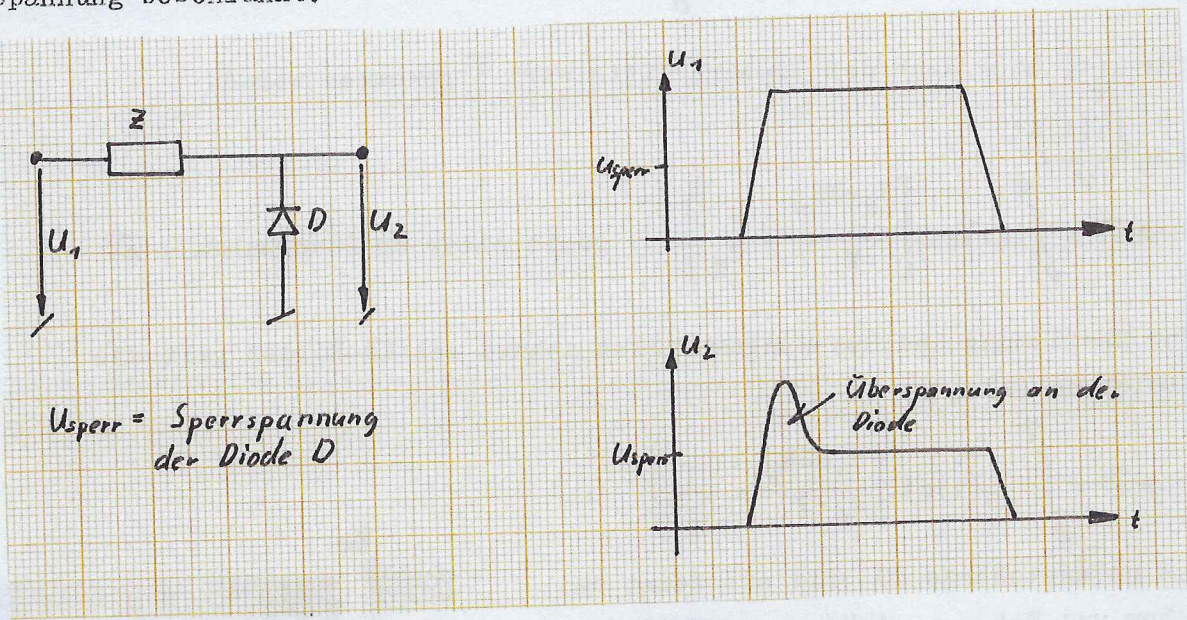
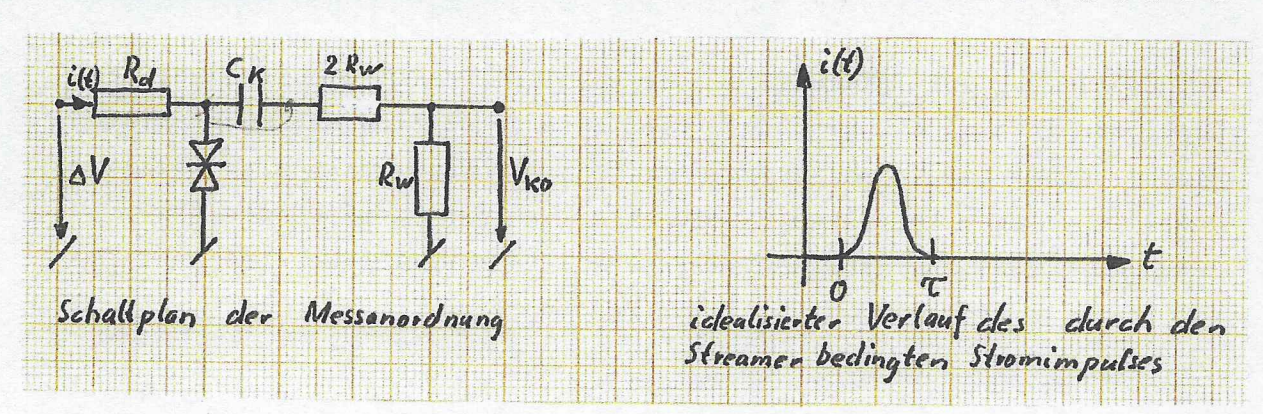


Fig.4: Dynamische Diodenkennlinie

2.3. Dämpfung des Sromimpulses

Der Widerstand R_d dient zur Dämpfung, des durch den Aufbau bedingten Messschwingkreises.

2.4. Berechnung des durch den Stromimpuls bedingten Spannungsabfalls van der oberen Elektrode



$$\mathbf{A}V = \mathbf{R}_{\mathbf{d}} \cdot \mathbf{i}(t) + \frac{1}{C_{\mathbf{K}}} \int \mathbf{i}(t) dt + 3\mathbf{R}_{\mathbf{W}} \cdot \mathbf{i}(t)$$

$$V_{\mathbf{K}\mathbf{0}} = \mathbf{i}(t) \cdot \mathbf{R}_{\mathbf{W}} = \mathbf{i}(t) = \frac{V_{\mathbf{K}\mathbf{0}}(t)}{\mathbf{R}_{\mathbf{W}}} \qquad (a)$$

$$\mathbf{i}(t) = \begin{cases} \mathbf{i}(t) & 0 \le t \le \mathbf{T} \\ 0 & \text{sonst} \end{cases}$$

$$\mathbf{V} = \mathbf{i}(t) \cdot (\mathbf{R}_{\mathbf{d}} + 3\mathbf{R}_{\mathbf{W}}) + \frac{1}{C_{\mathbf{K}}} \int \mathbf{i}(t) dt$$

 $\vec{i} = \frac{\int_{0}^{t} i(t) dt}{\tau}$ $= = \sqrt[3]{v} = \int_{0}^{t} i(t) dt \cdot \left[\frac{R_{d} + 3R_{w}}{\tau} + \frac{1}{C_{K}} \right]$ gemittelter Spannungsabfall $\sqrt[3]{v}$

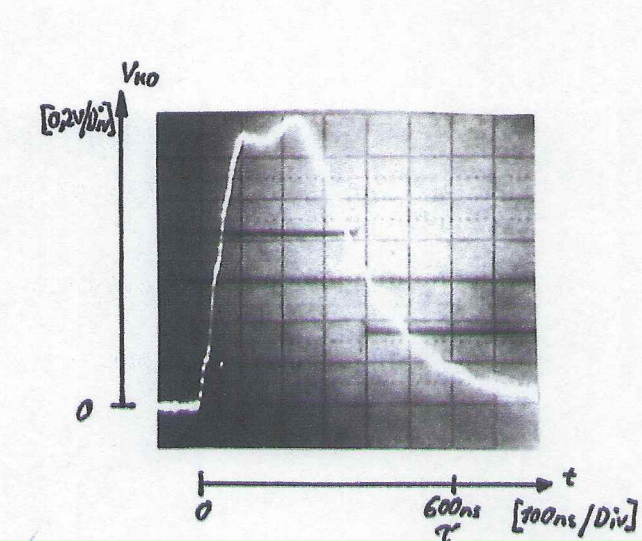
Zur Bestimmung des Spannungsabfalles anhand des KO-Bildes gilt die Gleichung (a)

$$== \sqrt[4]{V_{KO}(t)} dt \cdot \left[\frac{R_d + 3R_w}{R_w \cdot 7} + \frac{1}{C_K R_w} \right]$$

Das nebenstehende KO-Bild erscheint bei d=5em und E=E_{krit} =4kV/cm ==⇒V=20kV

Aus der unter der Spannungskurve liegenden Fläche lässt sich √V berechnen.

√V≈45V, was gegenüber V vernachlässigt werden kann.



3. Erzeugung der Feldinhomogenität

3.1. Triggerung_

Der Triggerimpuls auf der erdseitigen Elektrode wurde mit einem Pulska 10 A Impulsgenerator gegeben.

Der Impuls hat eine Anstiegszeit von 10ns, einem RC-Abfall von $T=150 \, \text{ns}$ und einer Spannungsspitze von $\hat{V}_{\text{imp}}=+10 \, \text{kV}$.

3.2. Anordnung des Zündstiftes

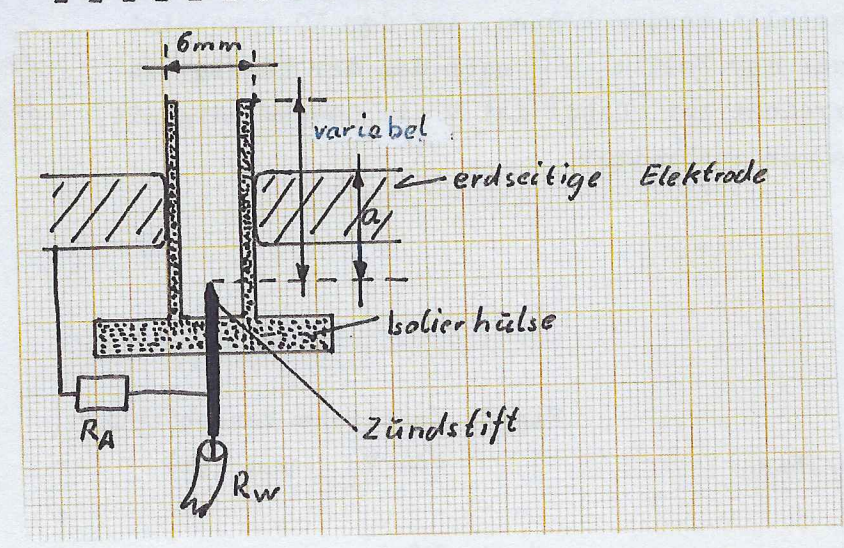


Fig.5:Zündstiftanordnung M 2:1

Der Zündstift ist mit einer Isolierhülse von der erdseitigen Elektrode getrennt, so dass zwischen Zündstift und der Erdelektrode kein Durchschlag erfolgen kann. Diese Hülse ist verschiebbar, so dass sich der Abstand a, das heisst der Abstand den die Zündstiftnadel zur Oberfläche der Erdelektrode besitzt, varieren lässt.

Da bei einem Abschlusswiderstand $R_A=R_W=50$ Ohm der Spannungs-impuls zu tief ist, um einen Streamer zu erzeugen, wird das Koaxial-kabel mit $R_A=100$ Ohm abgeschlossen. Dies ergibt einen Spannungs-impuls $\hat{V}_{Imp}=+13kV.Mit$ diesem Spannungsimpuls lässt sich ein Streamer gut erzeugen.

4. Synchronisation Zündimpuls-Messung

Der KO wurde extern vom Pulsgenerator getriggert, damit auf dem KO sehr genau die Vorgänge zur Zeit der Störung des homogenen Feldes aufgzeichnet wurden.

5. Messung der kritischen Feldstärke Ekrit

5.1. Messkriterium

Als kritische Feldstärke wird diejenige Feldstärke bezeichnet, die benötigt wird, damit der durch den Zündimpuls erregte Streamer bis zur Gegenelektrode vorwächst. Sobald der Streamer und die mit ihm verbundene Ladung Q (bei $E=E_{krit}$ ist $Q=Q_0$; II.2.3.) die Kathode erreicht, muss ein Strom i(t) über den Koppelkondensator C_K fliessen und auf dem KO festgestellt werden können. Auf dem KO erscheint dieser Stromimpuls nach der Zeit $t_0=\frac{d}{v}$ nach dem der Zündimpuls seinen Spitzenwert erreicht hat. Dabei ist v die Geschwindigkeit, mit der sich der Streamer ausbreitet.

Schou fuiles! Ladan, brounds mu, beneft lord!

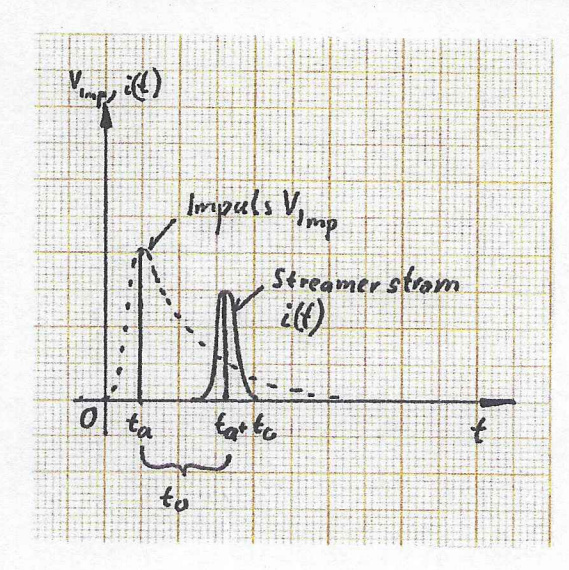


Fig.6: Zeitliche Verschiebung von V_{Imp} und i(t)

Vomils! Faryl

5.2. Beobachtung des Streamers

Um eine Bestätigung darüber zu erhalten, dass die Spitze, die auf dem KO erscheint (Bild 4), tatsächlich vom Streamer herrührt, wurde das Vorwachsen des Streamers gleichzeitig zur elektrischen Messung auch noch optisch beobachtet.

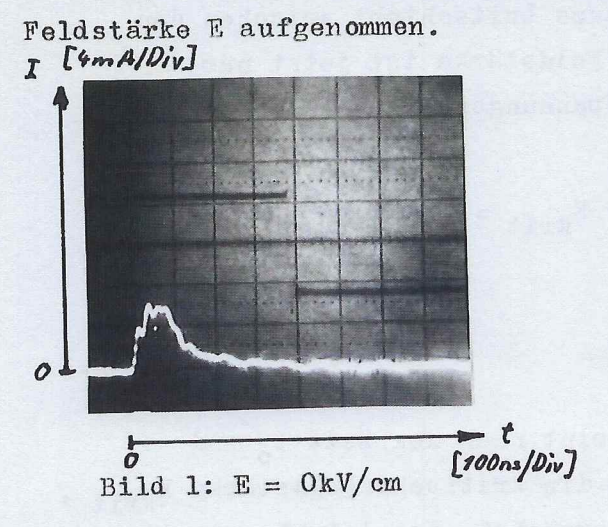
Um den Streamer gut zu erkennen, musste in vollkommener Dunkelheit und mit dem dunkel adaptierten Auge beobachtet werden. Um störende Spiegelungen der Kathode auszuschalten, wurde deren Elektrode elektrostatisch schwarz beschichtet.

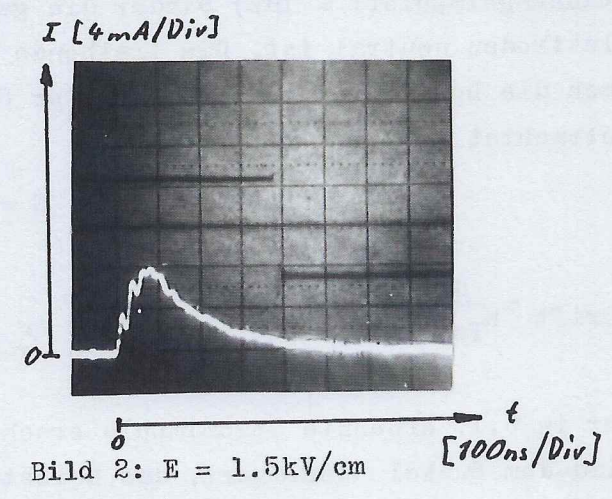
Wenn die Feldstärke E<E_{krit} ist, wächst der Streamer etwas in Raum vor und erlischt wieder, je grösser E wird, umso weiter wächst der Streamer vor. Sobald er die Kathode erreicht, erscheint auf dem KO der bei jedem Elektrodenabstand gleichgrosse Stromimpuls(Bild 4).

Wenn E aber grösser als E_{krit} wird, so ist eindeutig festzustellen, dass die grösse des Stromimpulses mit der Zunahme des Elektrodenabstandes d auch zunimmt, was heisst, dass die Ladung Q grösser geworden ist(II.2.2. Gleichung 3), zugleich beobachtet man visuel eine Verästelung des Streamers.

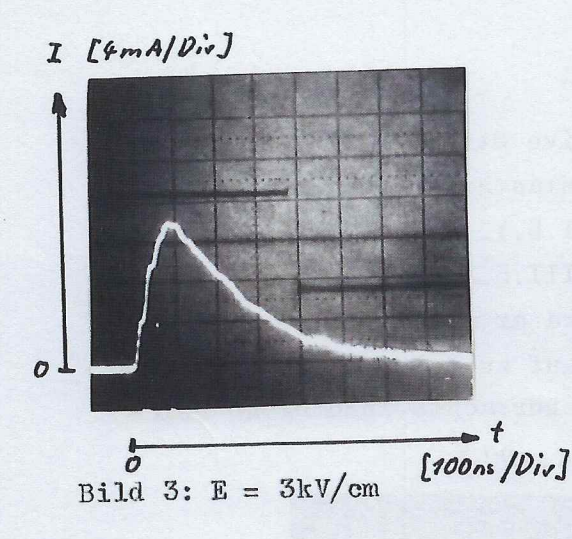
5.3. Interpretation_des_KO-Bildes_

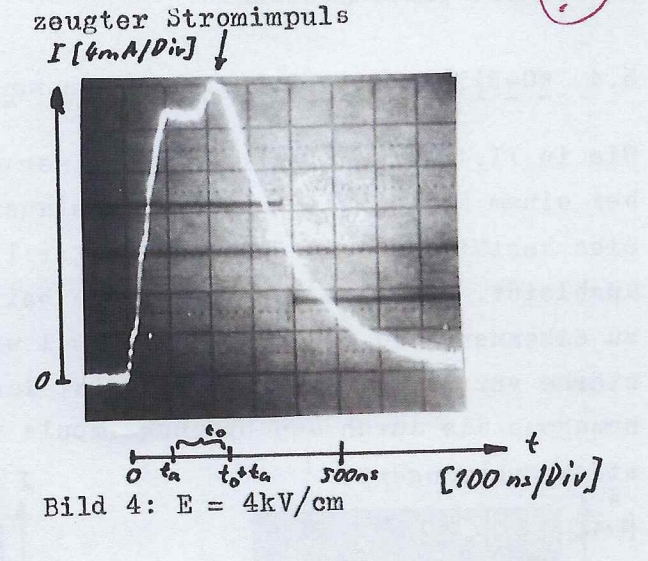
Die vier folgenden KO-Bilder habe ich bei konstantem Elektrodenabstand $d=5\,\mathrm{cm}$, konstantem Nadel-Erdelektrodenabstand $a=4\,\mathrm{mm}$ und variabler





Vom Streamer an der Kathode er,





Der Buckel, der bereits schon bei E=OkV/cm (Bild 1) erscheint, rührt von dem Spannugsimpuls an der Nadel her. Dabei werden Elektronen aus der Kathode gelöst und diese ionisieren die nahe an der Kathode liegende Luftschicht(Dicke x). Das Ansteigen dieses Buckels mit der Vergrösserung der Feldstärke E (Bilder 2,3,4) wird bewirkt durch die Superposition der homogenen und der vom Spannungsimpuls herrührenden inhomogenen Feldstärke.

$$v_{el} = b.E$$
 $b = Beweglichkeit eines Teilchens$ $b_{el} \approx 5.10^5 cm^2/kVs$ $E = E_{krit} + \frac{V_{Imp}}{d} \approx 6.6kV/cm$ $x = t_{el}v_{el} = t_{el}b_{el} = 21.5cm$ (d=5cm $t_{el} = 500ns$)

x ist die Dicke der an der Kathode ionisierte Luftschicht bei einer angelegen homogenen Feldstärke $E=E_{krit}$.

Diese Ionen driftenzur erdseitigen Elektrode, so dass beim nächsten Spannungsimpuls (f = 1Hz) wieder die ganze Luftschicht zwischen den Elektroden neutral ist. Die treibende Feldstärke ist jetzt nur noch die homogene Feldstärke, da der Spannungsimpuls als beendet betrachtet werden kann.

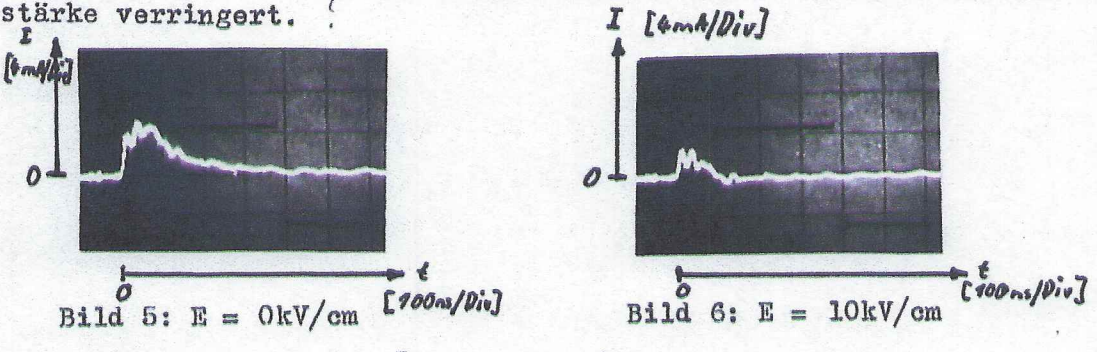
$$b_{\text{Ion}} \approx 10^3 \text{cm}^2/\text{kVs}$$
 $E = E_{\text{krit}} = 4\text{kV/cm}$ d=5cm

$$t_{\text{Drift}} = b \frac{d}{\text{Ion}} \cdot E \approx 1.25 \text{ms} < \frac{1}{f}$$

Der in 5.1. erwähnte Stromimpuls erscheint nach der Zeit tound wird dem Buckel überlagert, das heisst die kritische Feldstärke Ekrit, bei der der Streamer bis zur Kathode vorwächst, ist leicht und mit Sicherheit festzustellen.

5.4. KO-Bild bei positiver Hochspannung

Wie in II.4. erwähnt erreicht der negative Streamer die Anode erst bei einem knapp unter der Durchschlagsfeldstärke liegendem Wert. Dies bestätigt sich, indem der unter III.5.1. erwähnte Stromimpuls ausbleibt. Wohl ist der Buckel wie bei III.5.3. Bild 1 auch wieder zu erkennen(Bild 5), aber dieses mal wird er mit ansteigender Feldstärke verringert(Bild 6). Dies ist darauf zurückzuführen, dass die homogene die durch den Spannugsimpuls verursachte inhomogene Feld-



d = 5cm a = 4mm

5.5. Negativer Spannungsimpuls

Um einen negativen Spannungsimpuls zu erhalten, musste zwischen den Impulsgenerator und die Zündnadel ein Transformator geschaltet werden. Bei diesem Transformator kann je nach Schaltungsart ein positiver oder ein negativer Schpannungsimpuls abgegriffen werden.

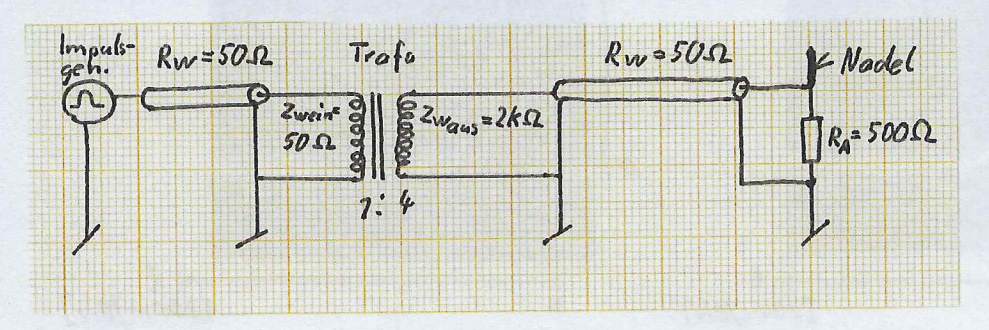


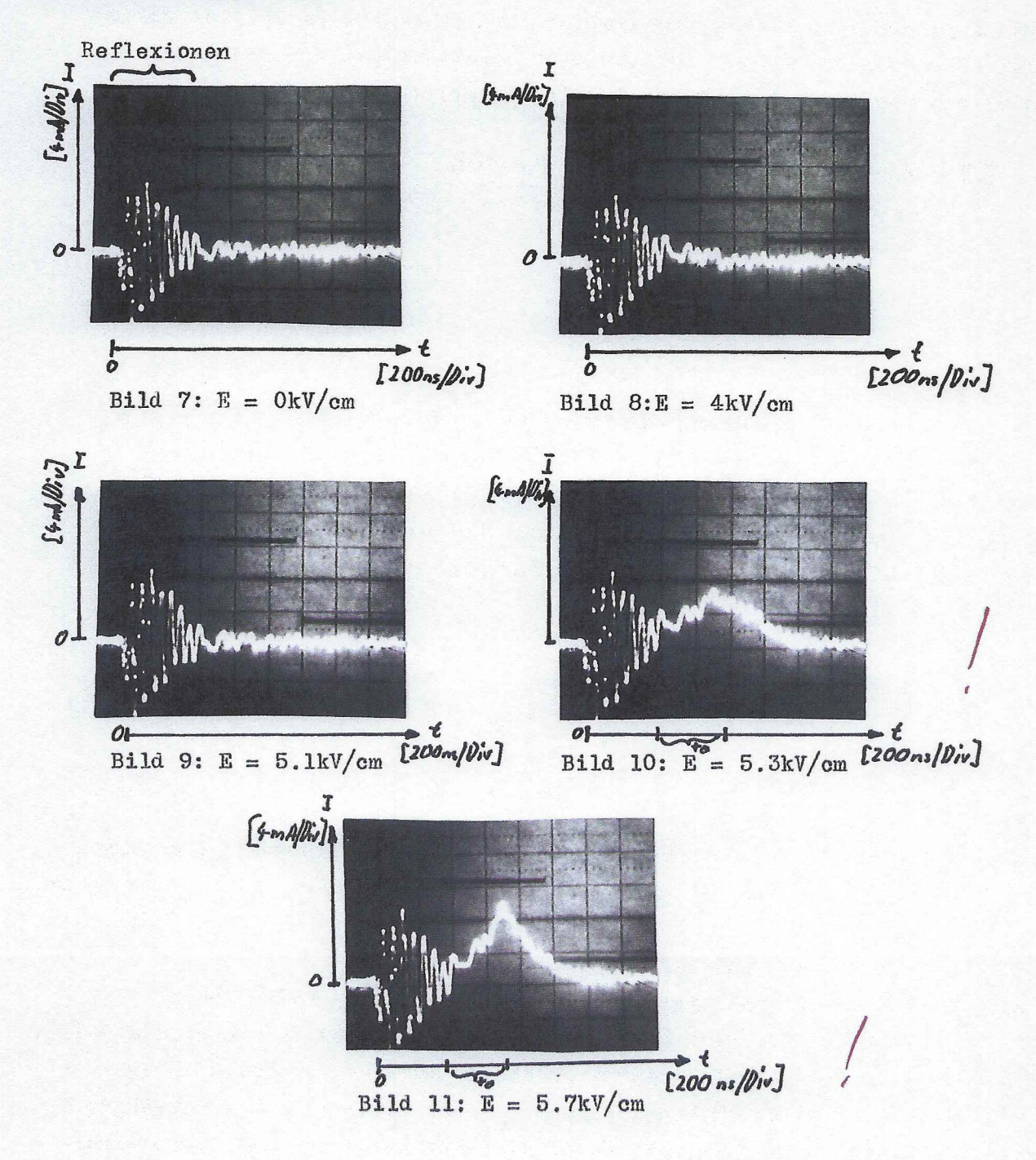
Fig. 7: Impuls schaltung mit Transformator

Der Trafo transformiert den Spannungsimpuls auf 40kV. Beim Uebergang vom Trafo auf das nachfolgende Koaxialkabel wird der grösste Teil der Spannung reflektiert und es gelangt nur noch die Spannung U_f=40kV.(1-r) in das Koaxialkabel.

$$r = \frac{R_{\text{w}} - Z_{\text{waus}}}{R_{\text{w}} + Z_{\text{waus}}} = \frac{-1.95 \text{k0hm}}{2.05 \text{k0hm}} = -0.95$$

Um auf die zur Erregung eines Streamers benötigte Spannung zu gelangen, muss das Koaxialkabel hochohmig abgeschlossen werden $R_{\rm A}=10R_{\rm W}=500$ Ohm. Durch diesen hochohmigen Abschlusswiderstand wird der Spannungsimpuls im Koaxialkabel hin und her reflektiert und dadurch aufaddiert, und so erreicht er die benötigte Spannung. Diese sieben Reflexionen $(V_{\rm Imp}=7.U_{\rm f}=14{\rm kV}) \mbox{ sind auch auf den KO-Bildern zu erkennen(Bild 7-11).} \\ \mbox{ Bei der kritischen Feldstärke erscheint auch bei dieser Messung nach der Zeit to des Erreichens von <math>V_{\rm Imp}$ der unter III. 5.1. erwähnte Stromimpuls(Bild 10). Zuerst ist er klein(Bild 10) und mit der Steigerung der Feldstärke wird der Impuls grösser(Bild 11).

Die fünf folgenden KO-Bilder habe ich bei konstantem Elektrodenabstand d=7cm, konstantem Nadel-Erdelektrodenabstand a=2mm und variabler Feldstärke aufgenommen.



Agl Bold 9/10: Wegaliver Inger-hupnes, trijest"

Offumilier eine por Strame ourseelliess Cie bei

ale kul. Feldmane!

Unkley in furlie, ob gendete Elektrole Privale

Way:

IV. MESSUNGEN

1. Messungen mit Bordaprofil

Die nachfolgenden Messresultate wurden mit einer Elektrodenanordnung erzielt, bei der die erdseitige Elektrode aus einer ebenen Kreisplatte mit abgerundeten Kanten bestand. Der Durchmesser der Platte beträgt 22 cm und der Radius der Abrundung zirka 1.5 cm. In der Mitte dieser Platte befindet sich die unter III.3.2 erwähnte Zündanordnung. Als Hochspannungselektrode wurde eine Elektrode mit Bordaprofil verwendet. Der Zündimpuls hatte immer eine positive Polarität und die 50-0hm Zuleitung war mit R_A=100 Ohm abgeschlossen(III.3.2). Sämtliche Messungen fanden in atmosphärischer Luft bei Zimmertemperatur statt.

Mit diesem Versuchsaufbau liessen sich die kritische Feldstärke $\mathbf{E}_{\mathrm{krit}}$, die Durchschlagsfeldstärke \mathbf{E}_{D} und die Zeit \mathbf{t}_{o} , die der Streamer benötigt, um den Elektrodenabstand d zu überbrücken, bestimmen.

1.1. Messung der kritischen Feldstärke Ekrit bei negativer Hochspannung V

Die kritische Feldstärke E_{krit} wurde in Funktion des Elektrodenabstandes daufgenommen. a ist der Abstand zwischen der Nadelspitze der Zündvorrichtung und der Oberfläche der Erdelektrode(Fig.:5). Dieser Abstand a diente bei der Messung als Parameter.

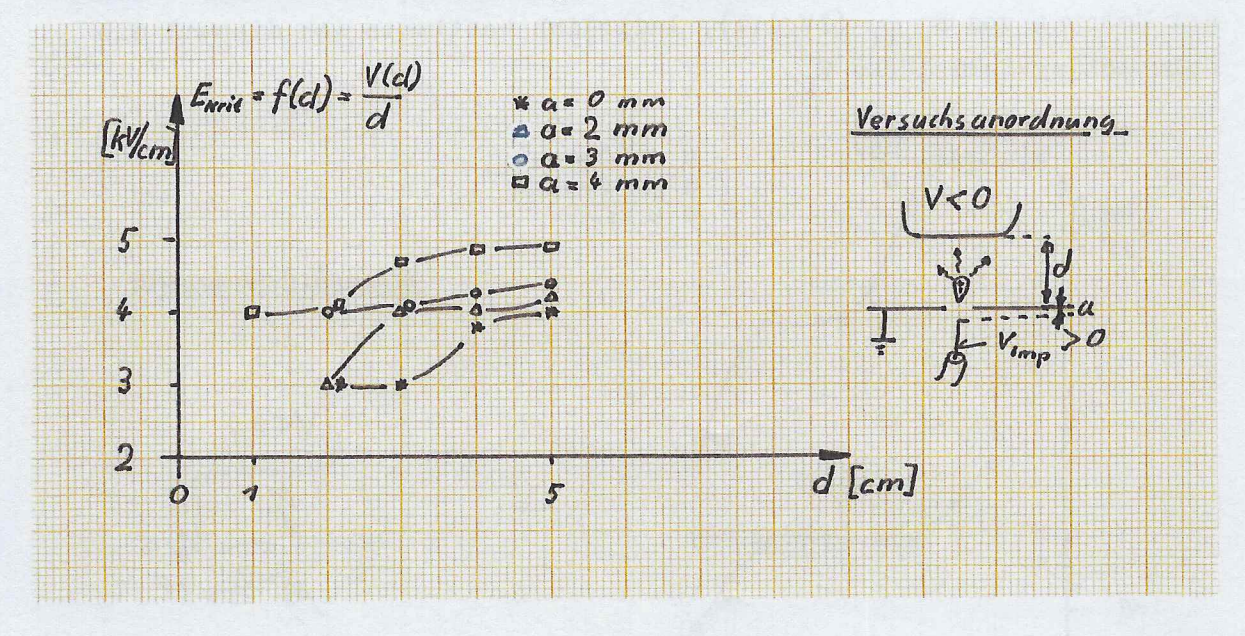


Fig.8: E_{krit}= f(d) mit Parameter a

Als erstes zeigt diese Messreihe, dass E_{krit} mit kleinem Elektrodenabstand kleiner wird, was daher rührt, dass das Homogenfeld durch den Zündimpuls gestört und somit die resultierende Feldstärke, die für das Vorwachsen des Streamers nötig ist, höher wird als die gemessene homogene Feldstärke E_{krit} .

Weiter sieht man klar den Einfluss des Abstandes a. Je weiter die Nadelspitze unter der Oberfläche der Erdelektrode ist, desto grösser wird die zum Vorwachsen des Streamers benötigte Feldstarke Ekrit Dies rührt daher, da ein grosser Teil der elektrischen Energie dazu aufgebracht werden muss, damit die Ladungen das Loch in der Erdelektrode überhaupt verlassen können und so die gemessene Feldstärke über dem Wert liegt, der zur reinen Fortpflanzung des Streamers im Homogenfeld benötigt wird.

1.2. Messung von Ekrit bei positiver Hochspannung V

Die kritische Feldstärke, die bei positiver Hochspannung benötigt wird, konnte und musste nicht bestimmt weren, da sie beinahe mit der Durchschlagsfeldstärke E_D zusammenfällt(II.4).

1.3. Messung der Durchschlagsfeldstärke ED bei negativer Hochspannung V

Der Versuchsaufbau und die Messungen waren genau die gleiche, wie bei der Messung von \mathbf{E}_{krit} (IV.1.1), lediglich bestimmte ich die mal die Durchschlagsfeldstärke \mathbf{E}_{n} .

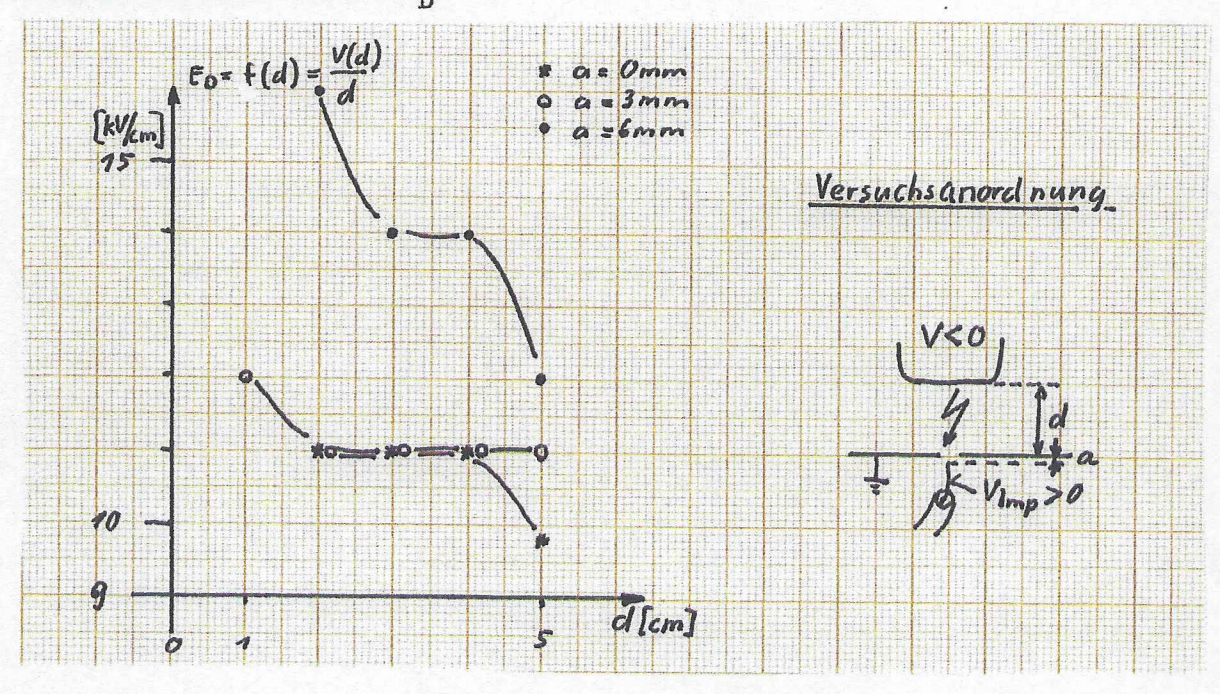


Fig.9: $E_D = f(d)$ mit Parameter a

Bei den kurzen Nadel-Erdelektrode-Abständen a ist die Durchschlagsfeldstärke annähernd konstant.

Die höheren Werte von E_D beim grossen Abstand a, werden daher rühren, dass für einen Durchschlag nicht mehr die Impulsspannung der Nadelspitze alleine massgebend ist, sondern die geometrische Anordnung des Loches im Platteninnern ebenso eine Rolle spielt.

1.4. Messung der Durchschlagsfeldstärke E_D bei positiver Hochspannung V

Vom unter IV.1.1. beschriebenen Versuchsaufbau wurde lediglich die Polarität der Hochspannug geändert, sonst wurde alles beim alten belassen.

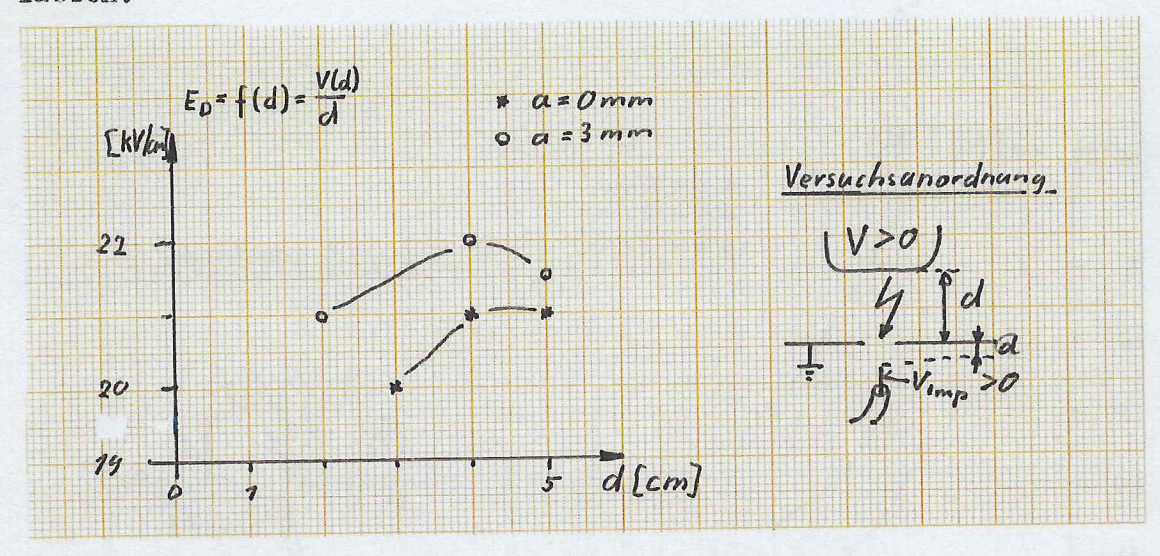


Fig.10: E_D=f(d) mit Parameter a

Die Ergebnisse zeigen bezogen auf den Abstand a das gleiche Verhalten, wie es unter IV.1.3. beobachtet werden konnte. Bei kleinem Abstand a ist die Durchschlagsfeldstärke annähernd konstant(±5%). Die Abweichungen rühren daher, dass die Feldstärke sehrhoch ist, das heisst sich nahe bei der Durchschlagsfeldstärke eines Homogenfeldes befindet. Dies erschwert eine exakte Messung. Für den Abstand a=6mm ist aus der Figur 10 nichts zu finden. Für diesen Abstand wurde aber ebenfalls eine Messreihe aufgenommen. Der Durchschlag erfolgte dabei Ausnahmslos zwischen den Elektroden, das heisst der Zündstiftspannungsimpuls spielt dabei keine Rolle.

1.5. Messung der Streamerausbreitungsgeschwindigkeit v

Mit der genau gleichen Messanordnung wie unter IV.1.1. beschrieben, nahm ich noch eine Messreihe auf, bei der ich die Zeit t_0 , die der Streamer braucht um von der Nadelspitze zur Kathode zu gelangen, bestimmte (III.5.1.)

Bedingungen: negative Hochspannung V

positiver Spannungsimpuls VImp

E = E_{krit} (aus IV.1.1. zu entnehmen)

Die Geschwindigkeit v berechnet sich aus d, a und t

$$v = \frac{d+a}{t_0}$$

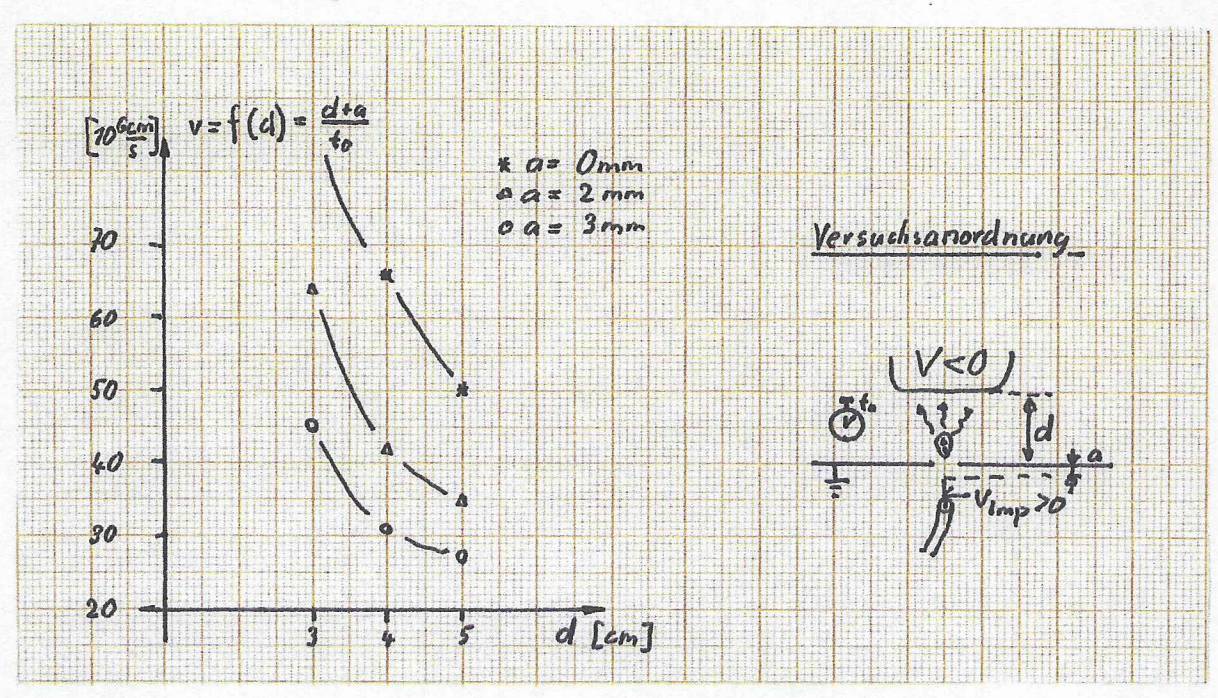


Fig.11: v = f(d) mit Parameter a

Diese Messreihe zeigt vor allem, dass die Geschwindigkeit v des Streamers weit über der Driftgeschwindigkeit von Elektronen oder Ionen liegt:

$$v_{e1} = b_{e1} \cdot E$$
 $b_{e1} = 5.10^5 \frac{cm^2}{kVs}$ E 4.5kV/cm $c_{e1} = 2.25 \cdot 10^6 \frac{cm}{s}$

Diese um eine Zehnerpotenz höhere Geschwindigkeit kommt daher, dass der grösste Teil der Strecke durch Photonen überwunden wird.

Mit kürzerem Abstand a nimmt die Geschwindigkeit zu, da die Zeit, die die Ladungen brauchen, um an die Erdelektrodenoberfläche zu gelangen, kürzer wird.

visso Villian find of ground?

2. Messung mit Rogowskiprofil

Um ein noch strenger homogenes elektrisches Feld zu erhalten, wechselte ich von der unter IV.1. beschriebenen Versuchsanordnung die Gegenelektrode aus. Das heisst an Stelle des Bordaprofils verwendete ich eine Elektrode mit Rogowskiprofil. Mit diesem Versuchsaufbau führte ich dann wieder die gleichen Messungen wie unter IV.1. aus. Lediglich auf die Bestimmung der Streamergeschwindigkeit v verzichtete ich. Als neue Messung kommt dafür die Bestimmung von $E_{\rm krit}$ bei negativer Impulsspannung $V_{\rm Imp}$ dazu(III.5.5).

2.1. Messung der kritischen Feldstärke E_{krit} bei negativer Hochspannung V

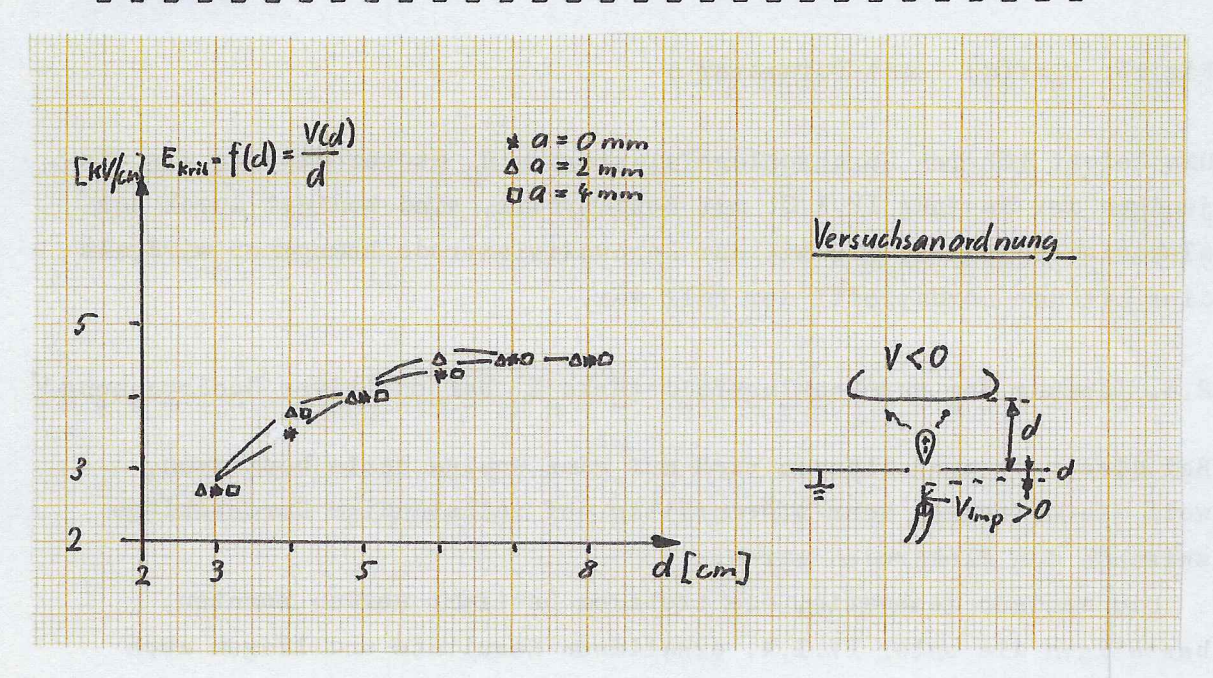
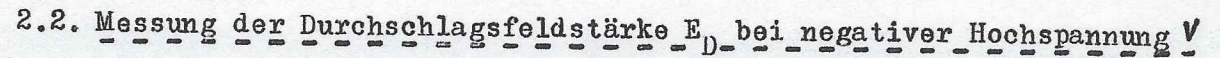


Fig.12: Ekrit=f(d) mit Parameter a

Die kritische Feldstärke wird/in einem grösseren Bereich von a unabhängig von diesem Parameter als dies mit dem Bordaprofil der Fall war.

Die annähernd konstante Feldstärke E_{krit} wird erst bei einem Abstand d > 5cm erreicht, was daher rührt, dass sich der Einfluss der Zündnadel bei kleinen Schlagweiten vergrössert.

La med der Boling in des Elekhoole



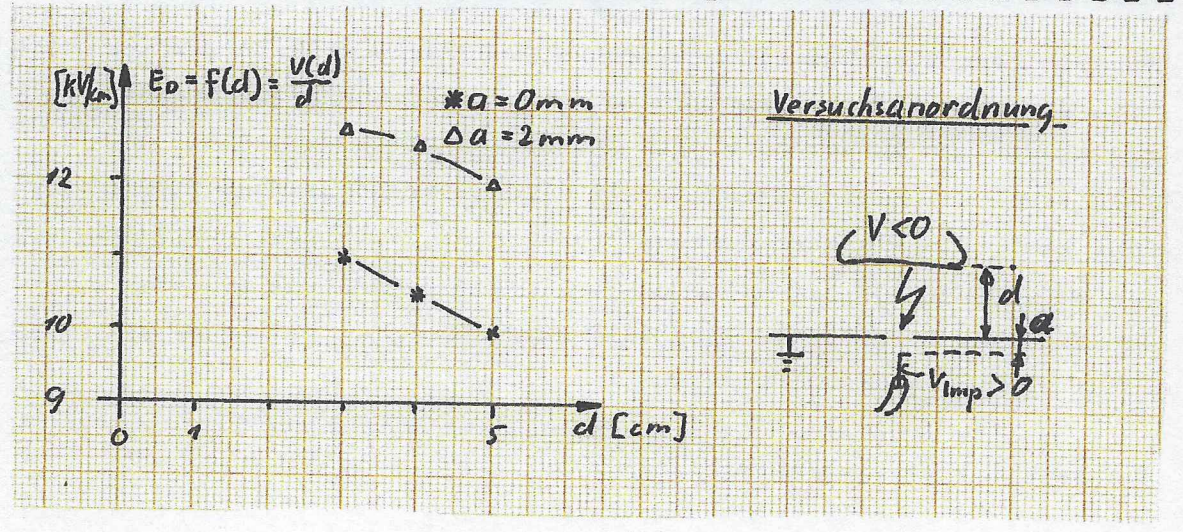


Fig.13: E_D=f(d) mit Parameter a

Die leicht höheren Durchschlagsfeldstärken E_D dieser Messung als diejenigen der Messung IV.1.3. mit Bordaprofil, sind bedingt durch das elektrische Feld E, das mit der Rogowskielektrode homogener wird,als dies mit dem Bordaprofil der Fall war.

2.3. Messung der Durchschlagsfeldstärke ED bei positiver Hochspannung V

Bei dieser Messung liessen sich nur ganz wenige Werte bestimmen, weil die Messungen sehr störanfällig auf selbständige Durchschläge zwischen den Elektroden waren.

Die wenigen Messwerte, die trotzdem bestimmt werden konnten, bestätigen die unter IV.1.4. erhaltenen Resultate und liegen auch bei etwa 21kV/cm.

2.4. Messung der kritischen Feldstärke $E_{
m krit}$ bei negativer Hochspannung und negativem Spannungsimpuls $V_{
m Imp}$

Bei dieser Messung lies ich den Zündimpuls durch den in III.5.5. erwähnten Transformator umformen. Als Referenzmessung nahm ich auch noch eine Messreihe mit positivem Spannugsimpuls und Trafo auf.

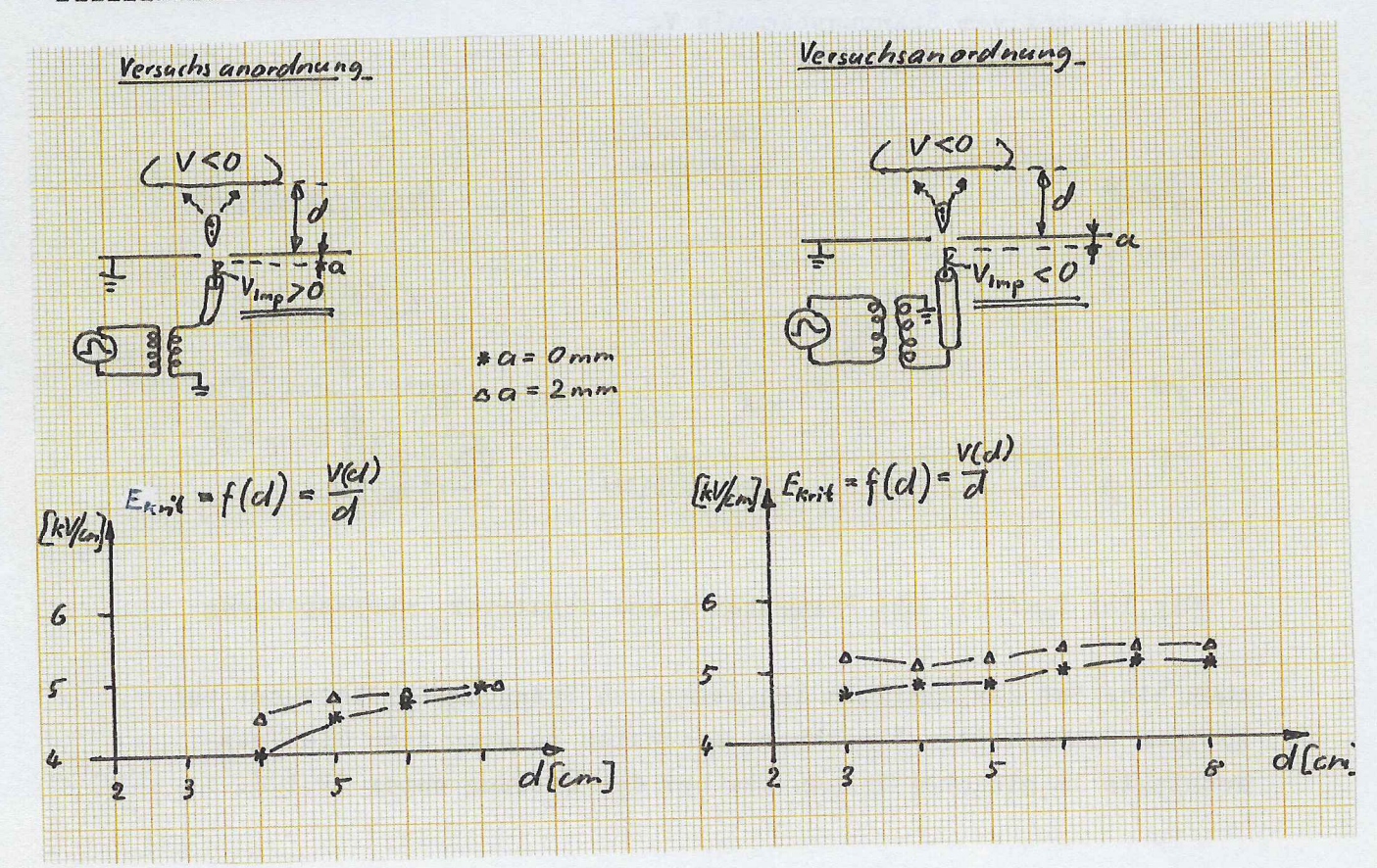


Fig.14: Gegenüberstellung positive-negative Impulsspannung

Die höhere Feldstärke E_{krit}, wenn der Impuls transformiert wird aber immer noch positiv bleibt, ist dadurch begründet, dass der Spannungsimpuls an der Nadel durch die vielen Reflexionen(III.5.5.) nicht mehr so energiereich ist, wie wenn er ohne Trafo direkt ab dem Impulsgenerator der Zündnadel zugeführt werden kann(IV.1.1.)

Die Ursache, dass die Feldstärke E_{krit} bei einem negativen Spannungsimpuls höher ist, die Differenz aber mit zunehmendem Elektrodenabstand abnimmt, ist, dass durch den negativen Spannungsimpuls die Spannung Nadel – Kathode und somit auch die elektrische Feldstärke E verkleinert wird. Daher wird bei einem negativen Spannungsimpuls eine grössere kritische Feldstärke E_{krit} benötigt, damit ein Streamer vorwächst.

2.5. Messung der Durchschlagsfeldstärke \mathbf{E}_{D} bei negativer Hochspannung V und negativem Spannungsimpuls $\mathbf{V}_{\mathrm{Imp}}$

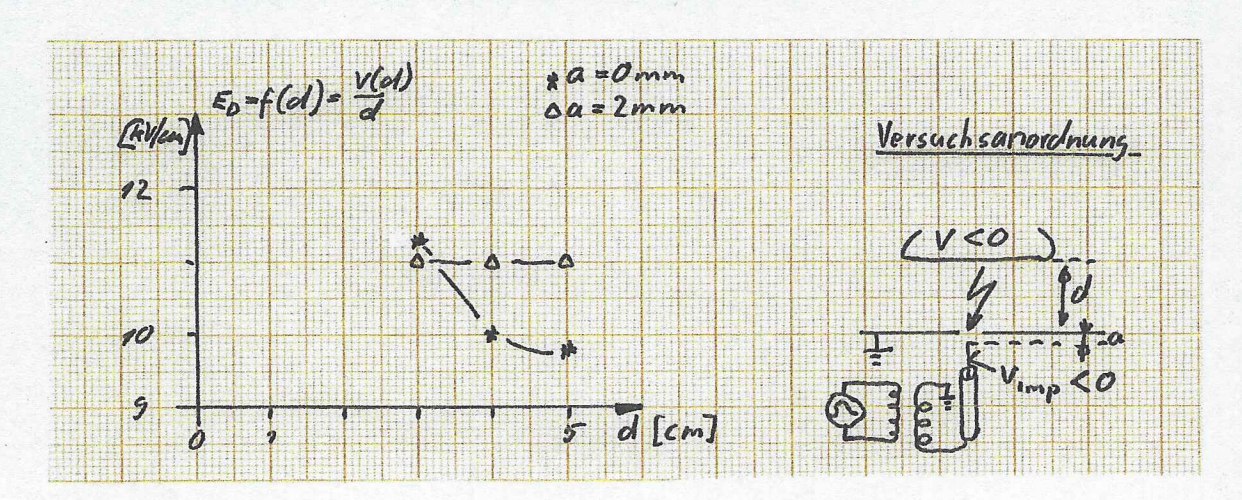


Fig.15: $E_D = f(d)$ mit Parameter a und negativer Impulsspannung

Auch hier ist der Einfluss des negativen Spannungsimpulses nur bei kleinen Schlagweiten bemerkbar. Ansonsten bewegen sich die Messresultate im gleichen Rahmen wie bei der Messung unter IV.1.3.

Maglion recompe with 178 mg

V. ZUSAMMENFASSUNG

Die in den Messungen erhaltenen Resultate sind sehr stark von den äusseren Bedingungen abhängig und somit auch stark verschieden. Wenn diese Fülle von Messresultaten auf den ersten Blick auch unübersichtlich erscheint, so wurden doch die im theoretischen Teil angebrachten Erläuterungen zum grössten Teil bestätigt.

Wenn man sich auf die Absicht der Aufgabe besinnt, die darin bestand, eine stellvertretende, die praxisnahen Messungen ersetzende
Messmethode zu finden, so anerbietet sich die Feldstärkemessung,
die für das Vorwachsen eines positiven Streamers benötigt wird.

Dies, weil die bei dieser Messung erhaltene Feldstärke die geringste
ist, bei der ein Ladungsträger zwischen Anode und Kathode überhaupt
erst ausgetauscht werden kann. Wenn man also zu einem neu gefundenen for stafftat??
isolierenden Gas diese kritische Feldstärke Ekrit angeben könnte,
so wüsste man, dass bei einer Anlage in der diese Feldstärke nirgens
überschritten würde, überhaupt kein Ladungsaustausch zwischen Anode
und Kathode möglich wäre.

Wie aus den Messungen ersichtlich ist, sind die Messresultate nicht allgemein gültig. Die Messanordnung ist nur in einem bestimmten Bereich gültig und ergibt die gleichen wie in früheren Arbeiten erhaltenen Messresultate. Die erste Bedingung ist, dass Ekrit unabhängig vom Elektrodenabstand dist, was ungefähr ab de 5cm der Fall ist. Eine weitere Bedingung ist auch, dass der Nadel-Erdelektrodenabstand a nicht grösser als etwa 4mm gewählt werden soll, damit Ekrit auch von a unabhängig bleibt. Eine dritte Bedingung, die einen noch genaueren Wert von Ekrit ergibt, ist, das elektrische Feld noch strenger homogen zu machen, was durch eine Erdelektrode mit Rogowskiprofil erreicht würde.

Da eine kritische Feldstärke von ungefähr $4.5 \,\mathrm{kV/cm}$ sehr niedrig ist und eine Kapselung von Schaltanlagen bei Einhaltung dieses Wertes unmöglich wäre, ist als nächstes zu untersuchen, wie sich E_{krit} in Funktion des Druckes und anderer Isoliergase als Luft verhält. Als Ziel einer weiteren Arbeit wäre anzustreben, dass man die Anlage soweit ausbauen könnte, dass es möglich ist $\frac{E_{\mathrm{krit}}}{p} = f(\mathrm{pd})$ irgend eines beliebigen Isoliergases anzugeben und dadurch einen Zusammenhang zu $\frac{E_{\mathrm{e}}}{p} = f(\mathrm{pd})$ zu finden.

Danke

Herzlich bedanken möchte ich mich bei Herrn G. Biasiutti und Herrn H. Hürlimann für Ihre tatkräftige Unterstützung bei dieser Semesterarbeit.



Zürich, 16. Juli 1982

P. Mauchle

P. Mauchto

Literaturverzeichnis

- Anderson N.E., An investigation of the positive streamer corona Part II. Arkiv för Fysik, 1958, 13, 35, 441-479
- Phelps C.T., Posive streamer system intensification and its possible role in lightning initiation,

 Journal of Atmospheric and Terrestmal Physics, 1974,

 Vol.36, pp.103-111. Pergamon Press
- Griffiths R.F and C.T. Phelps, The effects of air pressure and water vapour content on propagation of positive corona streamers, and their implication of lightning initiation. Quartal Journal Royal Meteorological Society, London, 1976, 102, 419-426
- Dawson G.A. and W.P. Winn, A model for streamer propagation, Z. Phys., 183, 159-171, 1965
- Dawson G.A., The lifetime of positive streamers in a pulsd pointto-plane gap in atmospheric air, Z. Phys., 183, 172-183, 1965
- Prof. Dr. W. Zaengl, GLF Hochspannungstechnik